



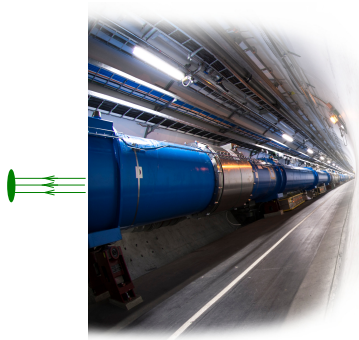
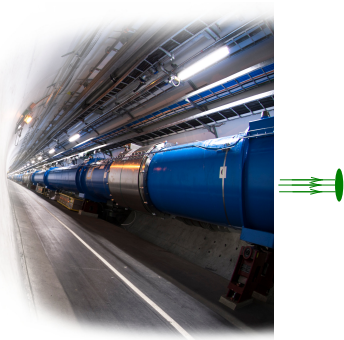
Mehr als reiner Zufall

Neue Entwicklungen in Monte Carlo-Ereignisgeneratoren für den LHC

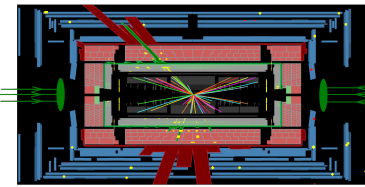
Frank Siegert

4. März 2016, DPG-Frühjahrstagung, Hamburg

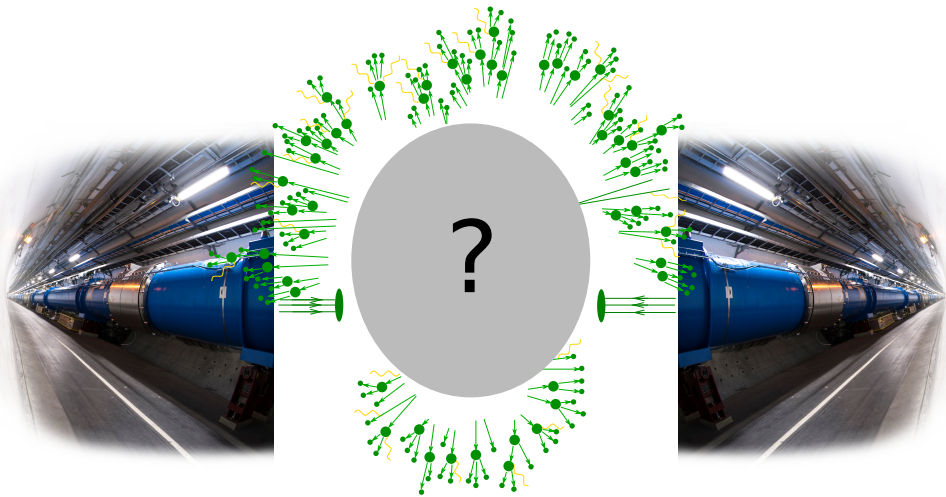
Kollisionsereignisse am LHC



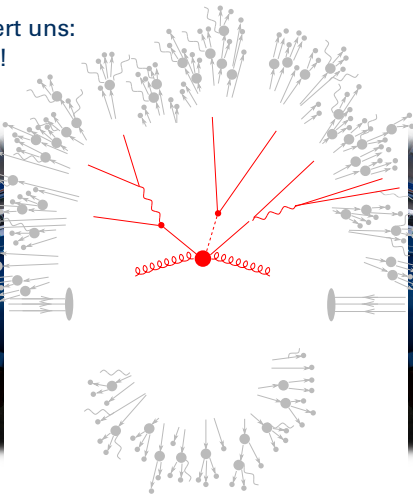
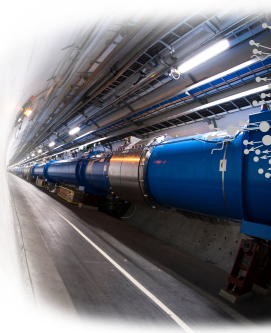
Kollisionsereignisse am LHC



- Im Detektor messen wir:
stabile Hadronen

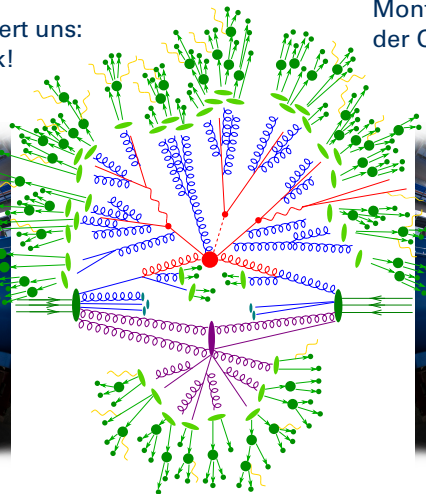
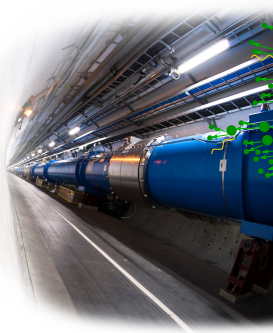


- Im Detektor messen wir:
stabile Hadronen
- Theoretisch interessiert uns:
Fundamentale Physik!



- Im Detektor messen wir:
stabile Hadronen
- Theoretisch interessiert uns:
Fundamentale Physik!

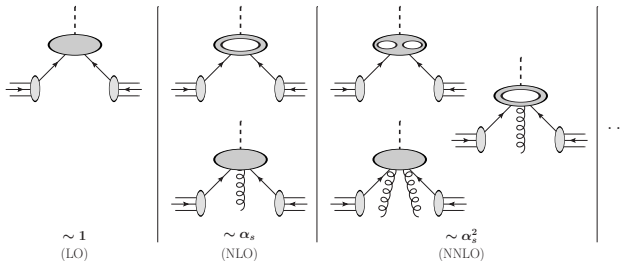
- Verbindung:
Monte Carlo-Simulation
der QCD-Dynamik



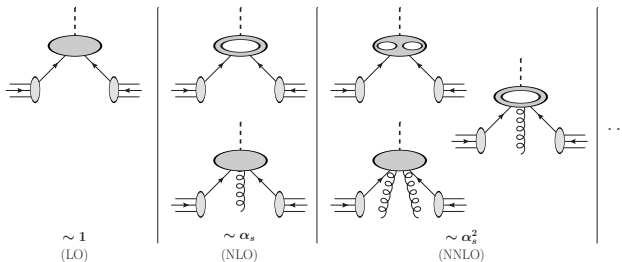
- Exakte Berechnung von QCD-Effekten nicht möglich



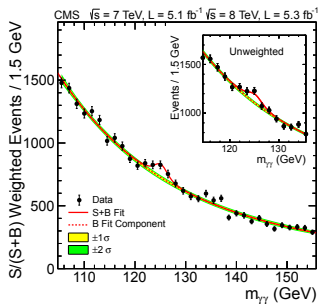
- Exakte Berechnung von QCD-Effekten nicht möglich
- Nur Störungsreihe in α_s :



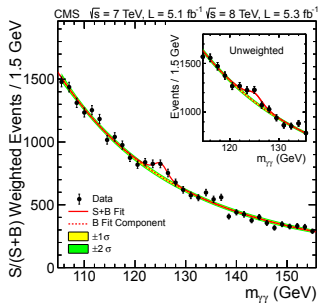
- Exakte Berechnung von QCD-Effekten nicht möglich
- Nur Störungsreihe in α_s :



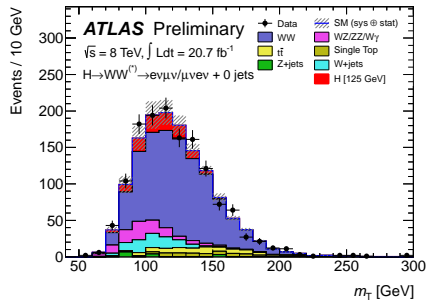
- Für Vorhersagen auf **Hadronenniveau**: Keine Konvergenz!
 → Resummation der Reihe notwendig
 - Enorme Komplexität!
 - Näherung: Resummiere nur universelle große Beiträge jeder Ordnung
- Konkret in unserem Fall: Parton-Shower (PS)
 = QCD-Bremsstrahlung entsprechend der großen Beiträge



Präzision der
Untergrundsimulation egal?



Präzision der
Untergrundsimulation egal?



Signal = 10%-Effekt \Rightarrow Präzise
Untergrundsimulation notwendig!

from Andre David



Präzise oder akkurat?

from Andre David



Präzise oder akkurat?

from Andre David

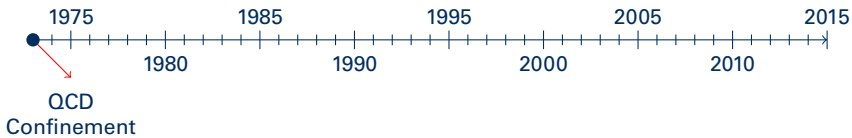


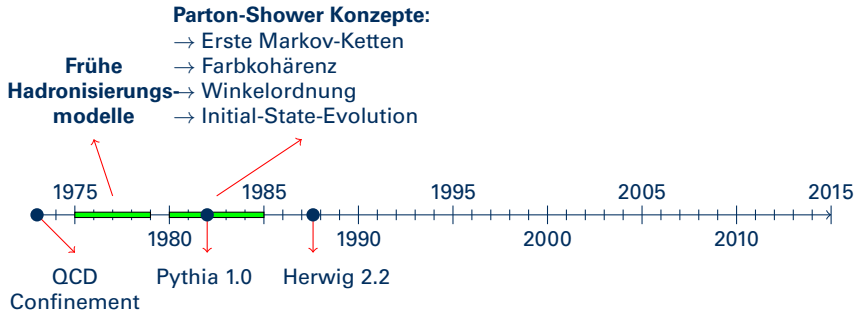
Präzise oder akkurat?

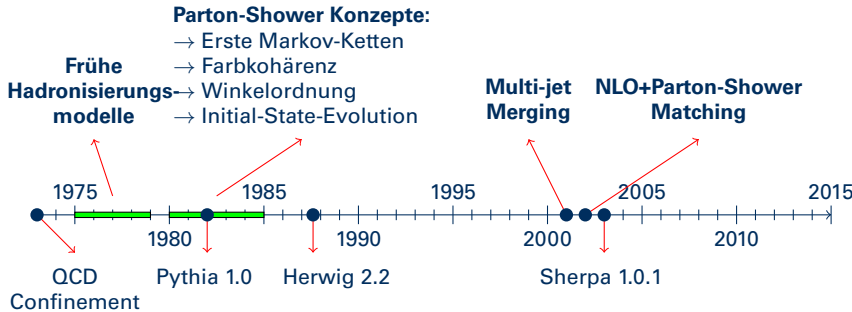
from Andre David

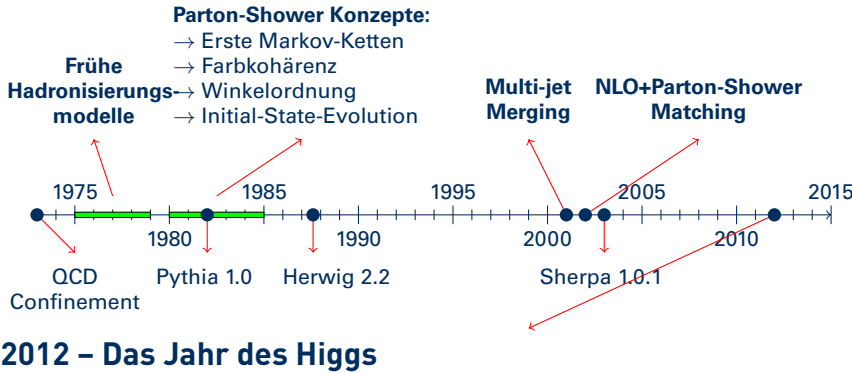


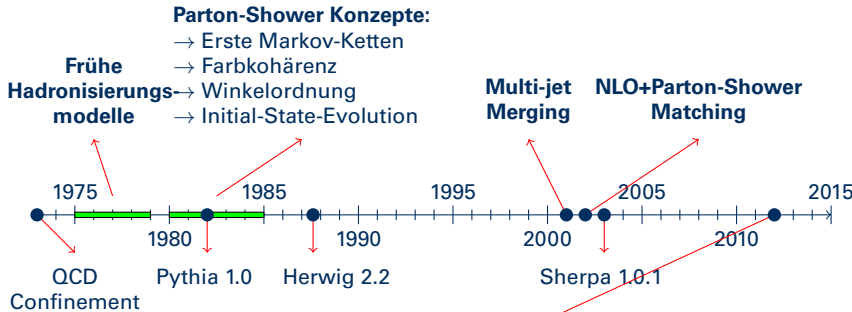
Parton-Shower-Entwicklung







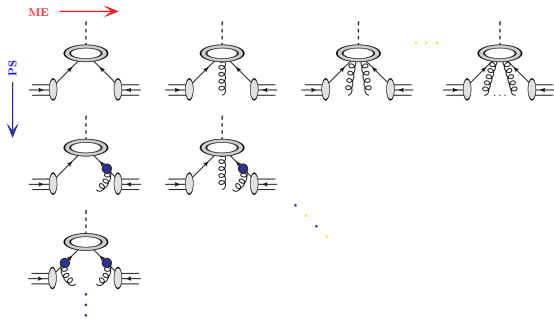




2012 – Das Jahr des Higgs Multi-Jet Merging auf NLO

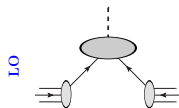
- Lavesson, Lönnblad (2008)
- Höche, Krauss, Schönherr, FS (2012)
- Frederix, Frixione (2012)
- Plätzer (2012)
- Alioli, Bauer, Berggren, Hornig, Tackmann, Vermilion, Walsh, Zuberi (2012)
- Lönnblad, Prestel (2012)
- Hamilton, Nason, Oleari, Zanderighi (2012)

NLO-Genauigkeit für Multi-Jet-Observablen in inklusiver Simulation:

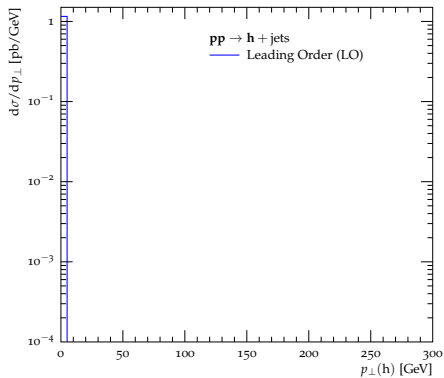
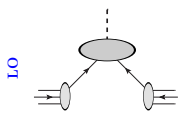


- Phasenraum der Jet-Emission aufgespalten, komplementär mit Matrixelement und Parton-Shower gefüllt
- Shower auf Multi-Parton-Konfigurationen ausgeführt → resummierte Verteilungen/Vetos
 - ⇒ Jet-Produktion mit exakten Matrixelementen, Intrajet-Evolution mit Parton-Shower

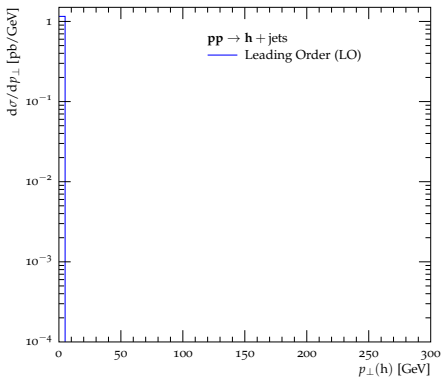
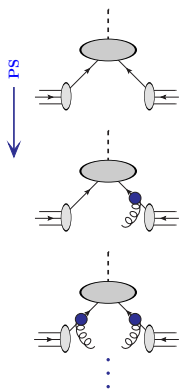
Parton-Shower-Visualisierung



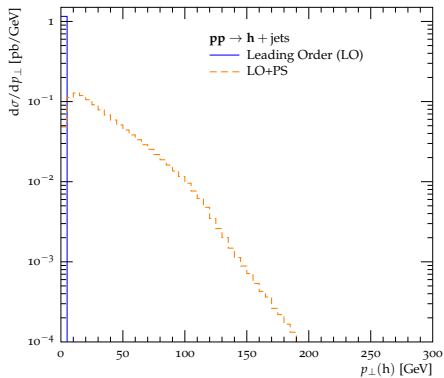
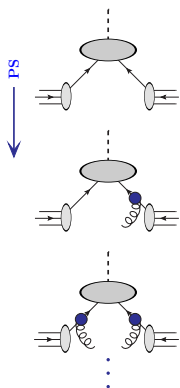
Parton-Shower-Visualisierung



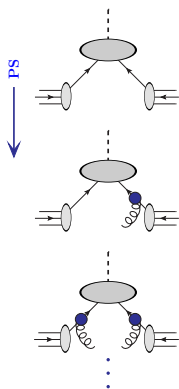
Parton-Shower-Visualisierung



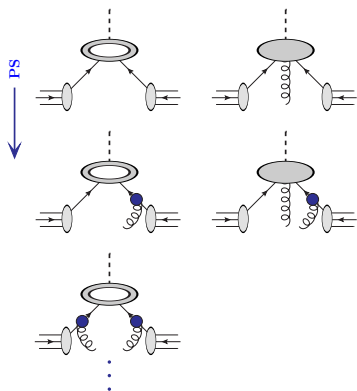
Parton-Shower-Visualisierung



Erweiterung auf NLO-Genauigkeit

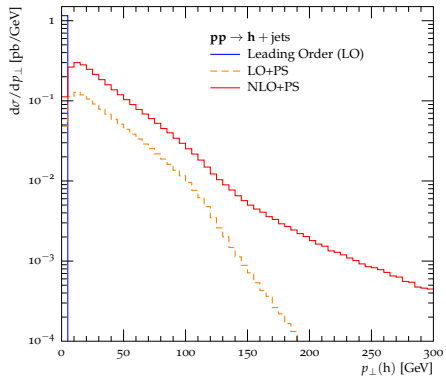
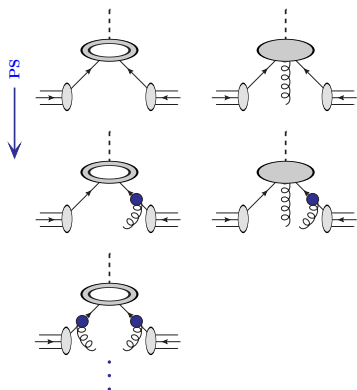


Erweiterung auf NLO-Genauigkeit



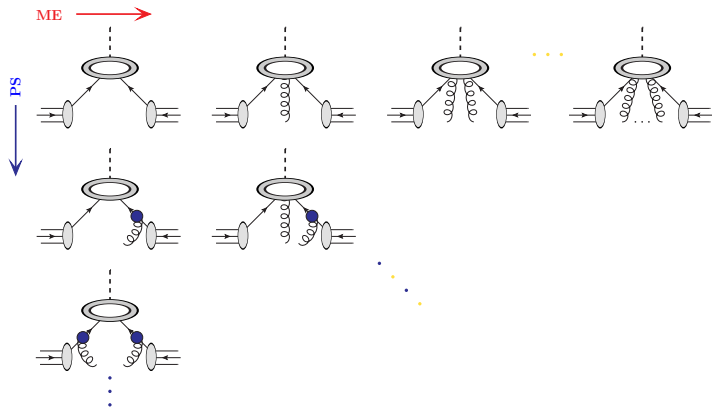
Frixione, Webber (2002)

Erweiterung auf NLO-Genauigkeit

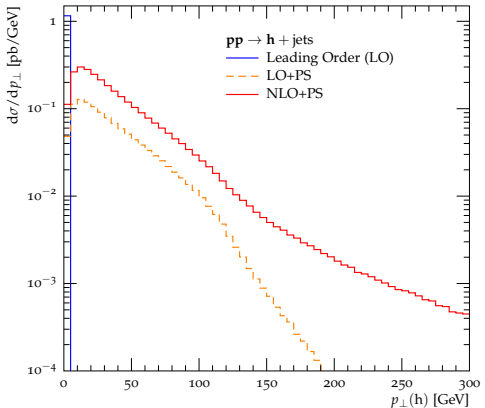


Frixione, Webber (2002)

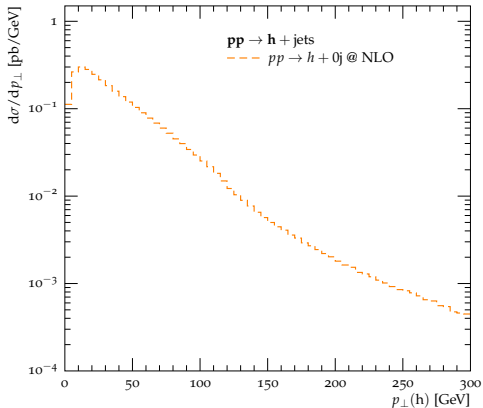
Multi-Jet Merging mit NLO-Genauigkeit



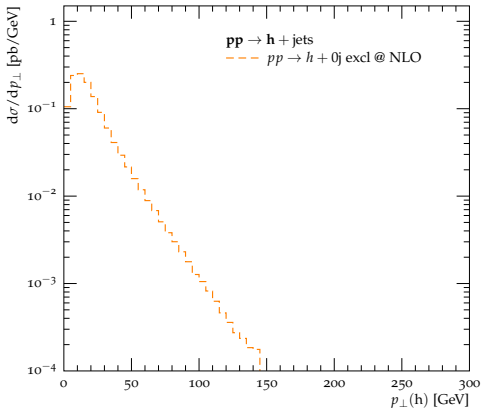
Multi-Jet Merging mit NLO-Genauigkeit



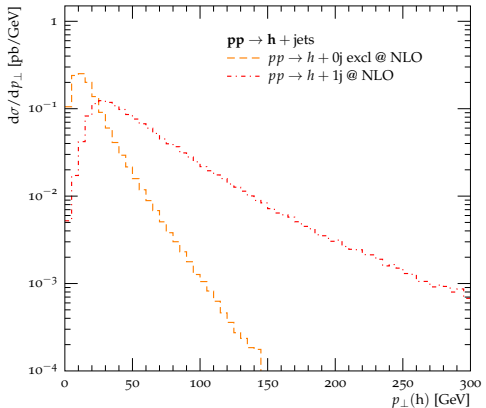
Multi-Jet Merging mit NLO-Genauigkeit



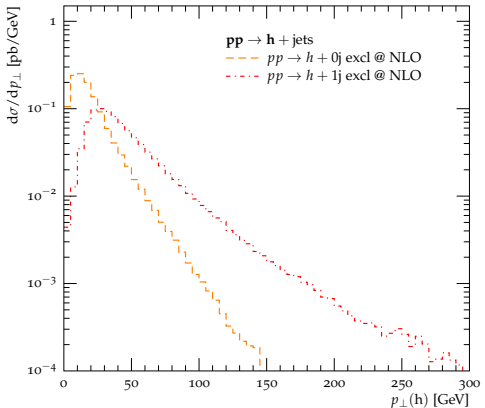
Multi-Jet Merging mit NLO-Genauigkeit



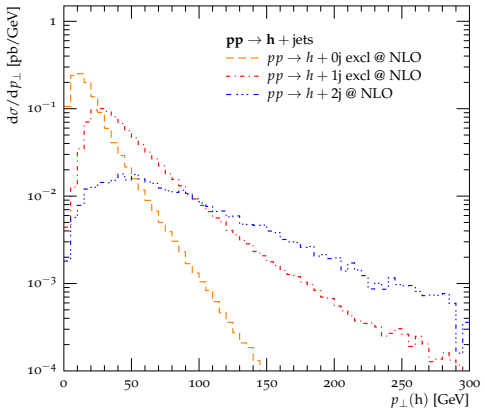
Multi-Jet Merging mit NLO-Genauigkeit



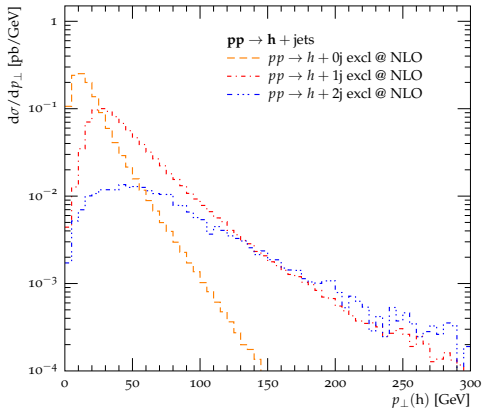
Multi-Jet Merging mit NLO-Genauigkeit



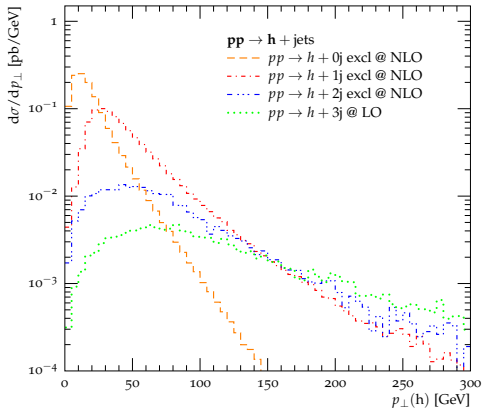
Multi-Jet Merging mit NLO-Genauigkeit



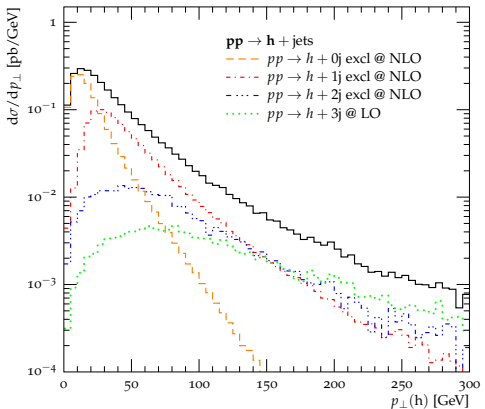
Multi-Jet Merging mit NLO-Genauigkeit



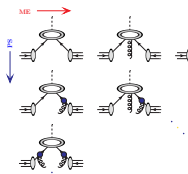
Multi-Jet Merging mit NLO-Genauigkeit



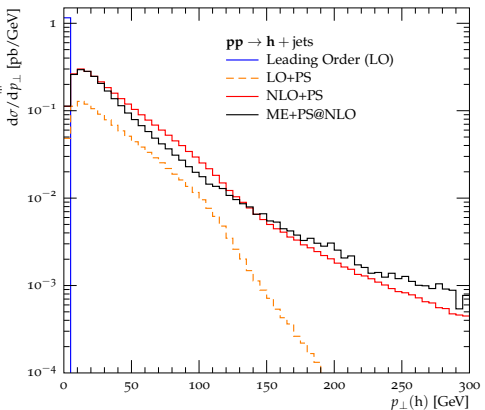
Multi-Jet Merging mit NLO-Genauigkeit



Multi-Jet Merging mit NLO-Genauigkeit

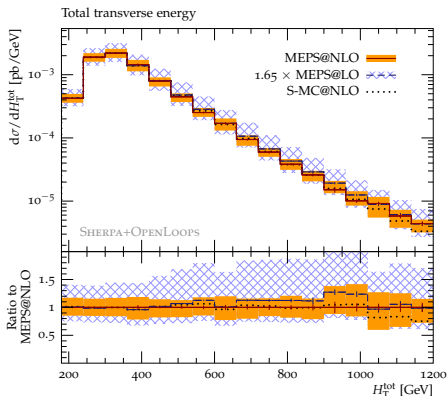


$pp \rightarrow h + \text{jets}$
Vorhersage
in höchster Präzision



Höche, Krauss, Maierhöfer, Pozzorini, Schönherr, FS (2014)

Top-Quark-Paarproduktion

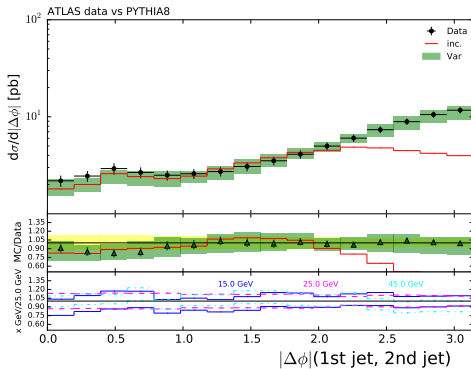


- Dominanter Untergrund für Suchen nach neuer Physik
- Relevant: $H_T^{\text{tot}} > 500 \text{ GeV}$
→ Unsicherheiten von **80%** auf **20%** reduziert!

Frederix, Frixione, Papaefstathiou, Prestel, Torrielli (2015)

Vektorboson-Produktion

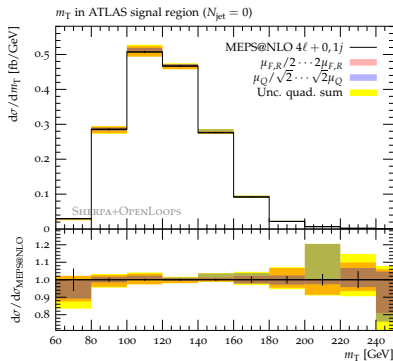
- Resultate von **MadGraph5_aMC@NLO + Pythia8(/Herwig++)**
- Vergleich mit **inklusiver NLO+PS-Simulation** und **Daten**
- Variation der (unphysikalischen) Merging-Skala → stabile Vorhersage



Cascioli, Höche, Krauss, Maierhöfer, Pozzorini, FS (2013)

Vorhersagen als Untergrund für Higgsproduktion

- $pp \rightarrow \ell\nu\ell\nu + \text{jets}$ in Signalregionen der $H \rightarrow WW^*$ -Analysen:

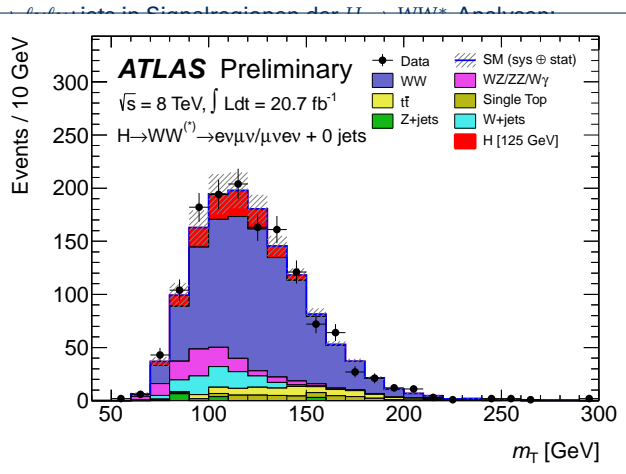


- Gesamt: $\approx 3\%$ Unsicherheit der MEPS@NLO-Vorhersage

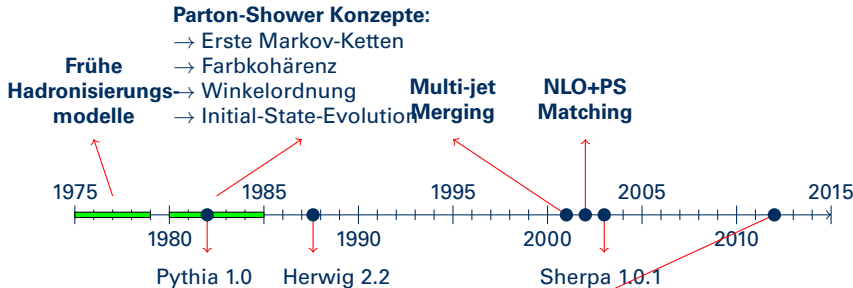
Cascioli, Höche, Krauss, Maierhöfer, Pozzorini, FS (2013)

Vorhersagen als Untergrund für Higgsproduktion

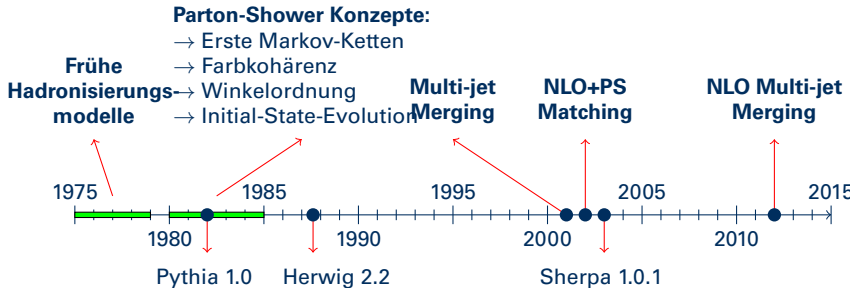
- pp

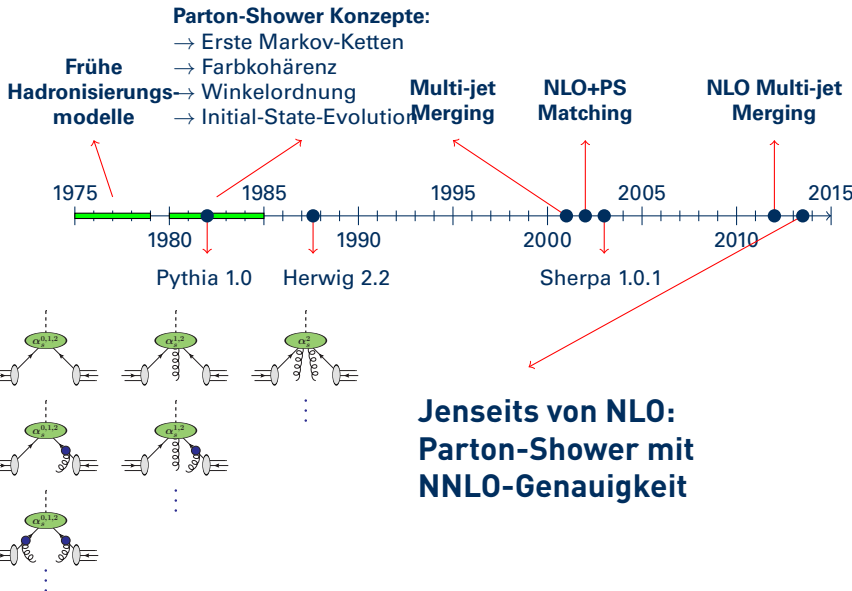


- Ge



2012 – Das Jahr des Higgs Multi-Jet Merging auf NLO





NNLO-Matching mit dem Parton-Shower

- NNLO-Präzision notwendig für Prozesse mit großem K -Faktor oder hoher experimenteller Genauigkeit

NNLOPS

Hamilton, Nason, Re, Zanderighi (2013)

- matching scheme based on MiNLO method
 - use $pp \rightarrow X + j$ NLO+PS simulation
 - apply scale choice and Sudakov form factor (like in multi-jet merging)
 \Rightarrow finite for $p_{\perp}^j \rightarrow 0$
- reweight with fully-differential $pp \rightarrow X$ @ NNLO

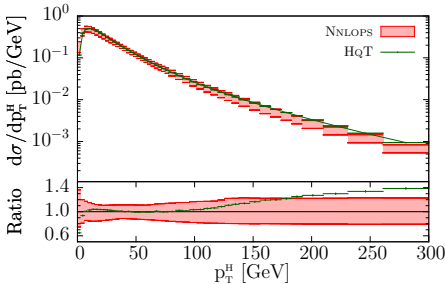
UN²LOPS

Höche, Li, Prestel (2014)

- matching scheme based on unitarised merging method Lönnblad, Prestel (2012)
- dedicated NNLO calculation using q_T -cutoff subtraction

Higgs-Produktion in Gluon-Fusion

- NNLOPS-Vorhersagen
 - Hamilton, Nason, Re, Zanderighi (2013)
 - Hamilton, Nason, Zanderighi (2015)
- Vergleich mit analytischer Resummation in HqT (NNLL+NLO)



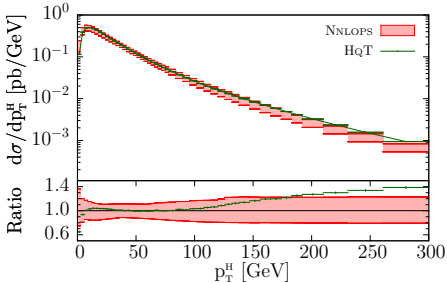
Higgs-Produktion in Gluon-Fusion

- NNLOPS-Vorhersagen

Hamilton, Nason, Re, Zanderighi (2013)

Hamilton, Nason, Zanderighi (2014)

- Vergleich mit analytischer Resummation in HqT (NNLL+NLO)

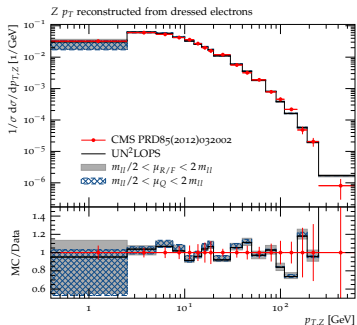


Vektorboson-Produktion

- UN²LOPS-Vorhersagen

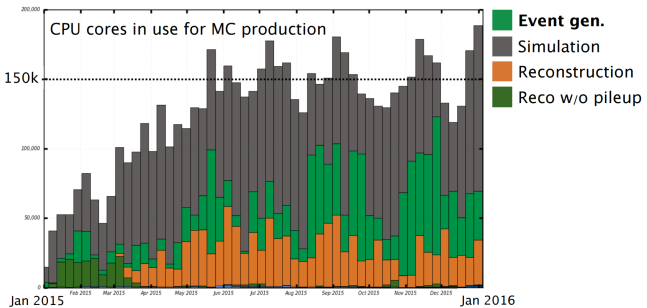
Höche, Li, Prestel (2014)

- Vergleich mit experimentellen Daten

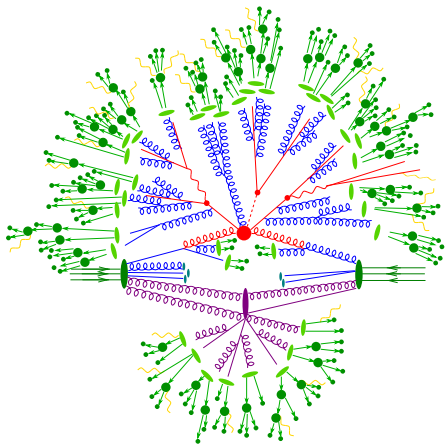


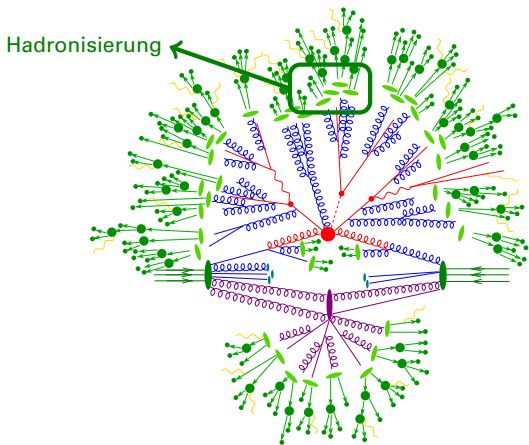
Neue Herausforderungen

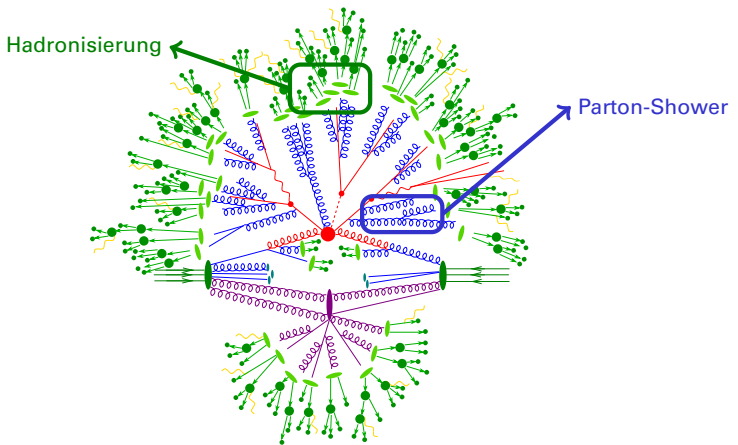
Josh McFayden, ATLAS (2016)

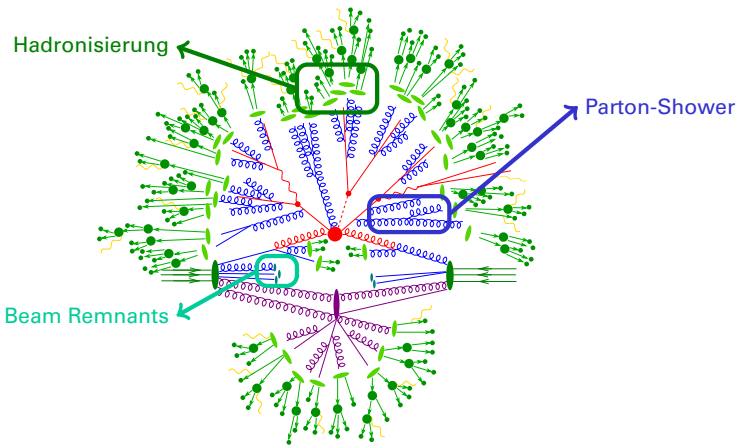


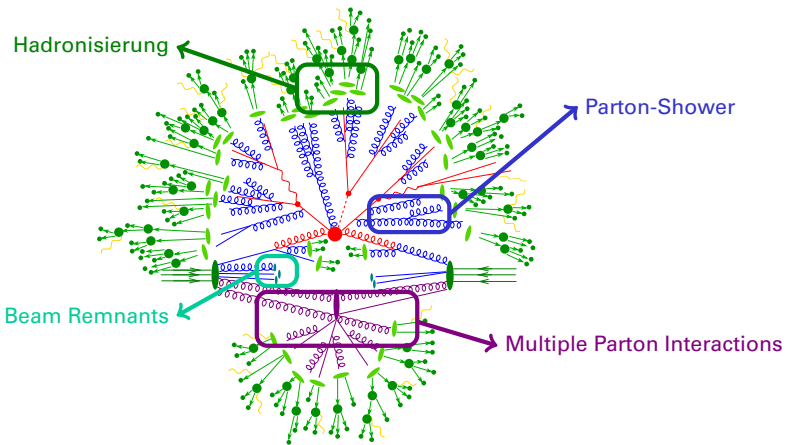
- CPU-intensive Rechnungen: Multiparton-Matrixelemente @ NLO
- Negative Gewichte aus NLO-Subtraktion
⇒ effektiv schlechtere Statistik











- **Pile-up Simulation**

- mehrere simultane pp -Interaktionen in einem Crossing:
Modellierung sehr inklusiver inelastischer Kollisionen
- Tuning auf Daten mit sehr inklusivem Trigger ("Minimum Bias")

- **Pile-up Simulation**

- mehrere simultane pp -Interaktionen in einem Crossing:
Modellierung sehr inklusiver inelastischer Kollisionen
 - Tuning auf Daten mit sehr inklusivem Trigger ("Minimum Bias")

- **Kalibration**

- z.B. in Jet- oder τ -Identifikation und Rekonstruktion

- **Pile-up Simulation**

- mehrere simultane pp -Interaktionen in einem Crossing:
Modellierung sehr inklusiver inelastischer Kollisionen
 - Tuning auf Daten mit sehr inklusivem Trigger ("Minimum Bias")

- **Kalibration**

- z.B. in Jet- oder τ -Identifikation und Rekonstruktion

- **Unfolding**

- Korrektur von Detektoreffekten aus Messungen
 - Abhängigkeit vom MC-Modell normalerweise klein, aber Teil der systematischen Unsicherheiten → Bedarf zuverlässiger Tunes

- **Pile-up Simulation**

- mehrere simultane pp -Interaktionen in einem Crossing:
Modellierung sehr inklusiver inelastischer Kollisionen
 - Tuning auf Daten mit sehr inklusivem Trigger ("Minimum Bias")

- **Kalibration**

- z.B. in Jet- oder τ -Identifikation und Rekonstruktion

- **Unfolding**

- Korrektur von Detektoreffekten aus Messungen
 - Abhängigkeit vom MC-Modell normalerweise klein, aber Teil der systematischen Unsicherheiten → Bedarf zuverlässiger Tunes

- **Untergrundabschätzung**

- Analysen subtrahieren Untergründe entweder direkt aus MC oder aus Extrapolation mit Hilfe von MC
 - Heikel: Tuning notwendig für Präzisionsmessungen/Entdeckungen?
Nur nicht-perturbative Aspekte, um Bias zu vermeiden!

Mammutaufgabe

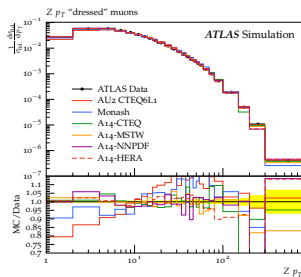
- Simultanes Tuning von Multiple Parton Interactions (MPI) und Parton-Shower in Pythia8 \Rightarrow 10 Parameter!

Parameter	Definition	Sampling range
<code>SigmaProcess:alphaSvalue</code>	The α_S value at scale $Q^2 = M_Z^2$	0.12 – 0.15
<code>SpaceShower:pT0Ref</code>	ISR p_T cutoff	0.75 – 2.5
<code>SpaceShower:pTmaxFudge</code>	Mult. factor on max ISR evolution scale	0.5 – 1.5
<code>SpaceShower:pTdampFudge</code>	Factorisation/renorm scale damping	1.0 – 1.5
<code>SpaceShower:alphaSvalue</code>	ISR α_S	0.10 – 0.15
<code>TimeShower:alphaSvalue</code>	FSR α_S	0.10 – 0.15
<code>BeamRemnants:primordialKThard</code>	Hard interaction primordial k_\perp	1.5 – 2.0
<code>MultipartonInteractions:pT0Ref</code>	MPI p_T cutoff	1.5 – 3.0
<code>MultipartonInteractions:alphaSvalue</code>	MPI α_S	0.10 – 0.15
<code>BeamRemnants:reconnectRange</code>	CR strength	1.0 – 10.0

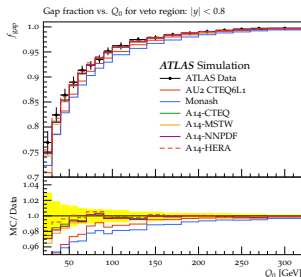
- Umfangreicher Input aus ATLAS-Messungen:
 - Underlying Event
 - Jet-Substruktur
 - Jet-Produktion
- Separate Tunes für 4 verschiedene PDFs

Simultan verbesserte Beschreibung von:

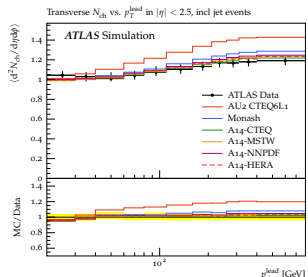
Z-Produktion



t-bar-t-Produktion



Underlying Event



Zusammenfassung

- Monte Carlo-Ereignisgeneratoren sind
 - im Experiment **unverzichtbar**
 - und **State-of-the-art** Theorievorhersagen.

Ausblick

Viele weitere aktuelle Entwicklungen heute nicht diskutiert:

- Elektroschwache Korrekturen
→ Stefano Pozzorinis Vortrag heute Morgen
- Anwendungen in **BSM**-Prozessen
- Verbesserung der **Resummationsgenauigkeit** des Showers
→ erste Schritte (VINCIA, DIRE, ...)

Zusammenfassung

- Monte Carlo-Ereignisgeneratoren sind
 - im Experiment **unverzichtbar**
 - und **State-of-the-art** Theorievorhersagen.

Ausblick

Viele weitere aktuelle Entwicklungen heute nicht diskutiert:

- Elektroschwache Korrekturen
→ Stefano Pozzorinis Vortrag heute Morgen
- Anwendungen in **BSM**-Prozessen
- Verbesserung der **Resummationsgenauigkeit** des Showers
→ erste Schritte (VINCIA, DIRE, ...)

Thank You!